

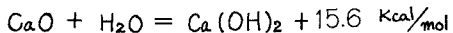
東海大学 正会員 深田 喬穂 学生員 太田 正彦
正会員○赤石 勝 学生員 山田 道男

1. まえがき

生石灰パイアルを用いた土質安定処理工法は、生石灰が粘性土中の間ゲキ水を吸収消化し、膨張、発熱することによって地盤を圧密改良するものといわれている。また、軟弱地盤の深部にある工質を短期間に改良するためによくに効果があるといわれている。⁽¹⁾しかし、サンドドレーン工法などにくらべ、比較的新しい工法なので、適用地盤、改良効果および改良のメカニズムなどについて、まだ明らかにされていない点が多い。今回は、室内模型実験により基礎的な研究を行なったので、その結果を報告する。

2. 生石灰パイアルによる地盤改良の原理と問題点

生石灰パイアルが、粘性土中に打設されると、生石灰は間ゲキ水と反応し、消石灰になる。この生石灰の反応は、以下のようである。



2.1 消化吸水、毛細管吸水による改良効果

生石灰の化学変化を示す表-1の重量比からわかるように、生石灰は重量の32%の水を周辺地盤から吸収する。このとき生石灰は、パイアル周辺地盤にサクションをおよぼし地盤の含水比を、低下させる。現在このサクションの大きさ、作用する範囲などが、不明確なため周辺地盤の強度増加量を定量的には、推定できない。

2.2 吸水膨張による改良効果

さらに生石灰は、消石灰に変化する過程で、著しく膨張するのでパイアルは、周辺地盤を圧縮しながら断面積を広げてゆく。この膨張圧によって、地盤は圧密され含水比は、低下すると言われている。⁽²⁾しかし、表-1の体積比から考えると、生石灰は、消化して約198倍の体積に膨張しているが、周辺地盤からはほぼ同体積の水を吸水しているので、生石灰パイアルを含めた体積全体の変化はない。したがって、消化吸水と膨張圧密は、同一の反応で二重評価してはいけないという考え方できる。⁽³⁾ただし、この考え方には、生石灰の吸水量と周辺地盤の圧密量は、常に等しいという前提条件がある。すなわち、生石灰の反応によって生じるサクションは、周辺地盤の土に負の間ゲキ水压を生じさせるので、水压に等しい有効应力が増加する。この有効应力が等方圧密应力となり、地盤は反応の継続する間、圧密されるものと考えられる。

3 試料および実験装置

実験に用いた試料の物理試験結果を、表-2に示す。生石灰は、市販の30~50mmの塊状のものを粉碎し、420μのフルイを通過したものを用いた。実験に用いた土槽は、図-1に示したように内寸法、幅×横×高さ 20×80×30 cm で、底部および側面に土圧計と間

表-1 生石灰の化学変化

	生石灰 CaO	水 H ₂ O	消石灰 Ca(OH) ₂
分子量	56	18	74
比重	3.37	1	2.24
重量比	1	0.32	1.32
体積比	1	1.08	1.98

表-2 粘土の物理的性質

液性限界 W _L (%)	塑性指数 I _P (%)	統一分類法 粘土分類
51.5	23.3	CH

表-3 実験条件

実験名	生石灰		粘土
	密度 (g/cm ³)	体積浸入率 w _v (%)	
NO. 1	0.900	0.212	47.0
NO. 2	0.795	0.194	47.7

ゲキ水圧計を設置してある。また、土槽前面は、生石灰の膨張過程を観察できるようアクリル板となつてある。載荷圧（空気圧）は、上部よりビニールシートを介してかけられる。

4. 実験方法

土槽に土圧計と間ゲキ水圧計をセットし、十分練り返した粘土を入水 0.1 kg/cm^2 で3日間水圧強した。干圧密を促進するため粘土上面にドレンーネット、側面の生石灰設置位置にサンドドレンーネットを設けた。粘土中の間ゲキ水圧計のゼロを確認したのち、ドレン用の標準砂などを取り除き生石灰を設置した。設置後排水状態にして再びビニールを介して、 0.6 kg/cm^2 の圧力を加えた。生石灰の反応による生土圧、過剰間ゲキ水圧、土槽内各点の温度および生石灰の膨張量などの経時変化を測定した。粘土層上面の変位については、詳細な測定は行なわなかったが、試験後の測定によれば $20\sim30 \text{ mm}$ 程度の沈下がみられた。また、実験終了後、粘土中より一輪圧縮試験と標準圧密試験用の試料を採取し、これにより一輪圧縮強度および圧密特性の変化を調べた。

5 実験結果および考察

5.1 生石灰の膨張量、膨張圧と温度変化

図-2、図-3、図-4はそれぞれ生石灰の膨張量、膨張圧と生石灰および粘土中の温度の経時変化を示したものである。膨張量と温度の変化から、生石灰の反応は、10時間程度でピークに達し150時間前後で終了しているようである。生石灰の膨張圧が増大し、垂直方向に加えた上載空気圧($P=0.6 \text{ kg/cm}^2$)より高くなってしまい、生石灰は、ほとんど粘土側の水平方向にのみ膨張した。また、粘土内にスベリ面が形成された跡もみられた。このことから粘土と生石灰の境界面の圧力 6×3 は、時間とともに増大していくが、生石灰のサクションによるものと考えられる。測定中 6×3 、 6×1 とも記録器オーバーしてしまったが、まだ増加しそうな傾向がうかがえた。この傾向は、消化吸水液の毛細管吸水結果によるものと思われるが、実験方法とともに今後さらに検討する必要がある。温度は、生石灰内で約 50°C 、境界

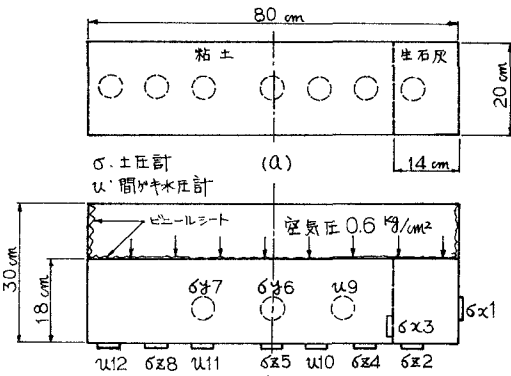


図-1 土槽概略図 (a)平面図 (b)断面図

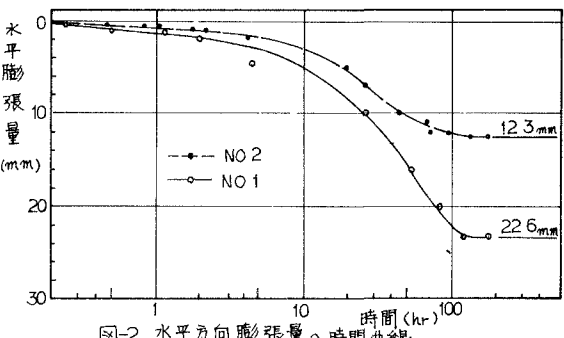


図-2 水平方向膨張量へ時間曲線

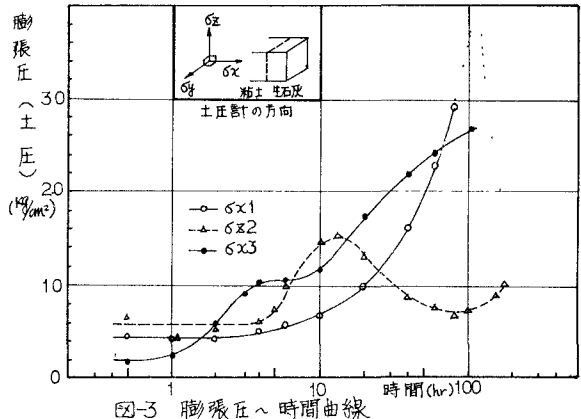


図-3 膨張圧へ時間曲線

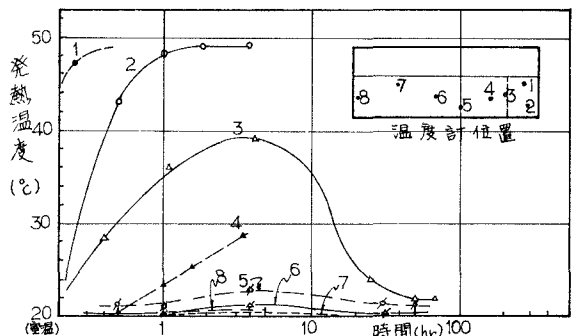


図-4 温度へ時間曲線

面付近で約20℃程度上昇しているが、粘土内の温度変化は、あまり大きくなない。熱伝導率の高い鋼製の土槽から外部に放出される量などもあり、正確には把握できなかった。

5.2 粘土中の土圧および間ゲキ水圧

図-5、図-6は粘土中の土圧および間ゲキ水圧の経時変化を示したものである。生石灰に近いとミ3の土圧計6x4が、わずかに上昇しているが6x5の大きさは変化はない。また6x5は、圧密の進行とともに当初の値の1/2程度の値まで減少している。石灰に最も近い間ゲキ水圧計は、生石灰を設置して30時間で負圧を示した。ただし、今回の実験では、間ゲキ水圧計の負圧に対する検定ができなかつたので、正の間ゲキ水圧に対する較正係数をそのまま代用した。負圧に対してても、較正係数が変化しないという保証がないため、負の間ゲキ水圧測定値は、

あまり正確なものとはいいえない。間ゲキ水圧の測定値にこのような問題があり、また土圧も各点で3方向測定していない。とくに生石灰が遠い位置における6x5が測定されていないが、後で述べる $\bar{\sigma}_m$ ～6mの関係を加えて、

大胆に土槽内応力状態の時間変化を描いたのが、図-7である。平均主応力 $\bar{\sigma}_m$ 、間ゲキ水圧 \bar{u} は、生石灰を標準砂で置き換えたサンドドレーンの実験から得られた圧密係数 C_u や土圧係数 $K = \delta_y/\delta_x$ などの中を用いて計算したものである。 $\Delta\bar{\sigma}_m = \bar{\sigma}_m - \bar{u}$ の値が、 $\Delta\bar{u} = \bar{u}$ の値に等しいが、

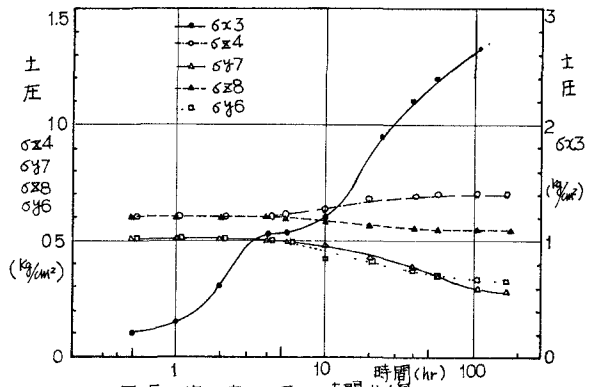


図-5 粘土中の土圧へ時間曲線

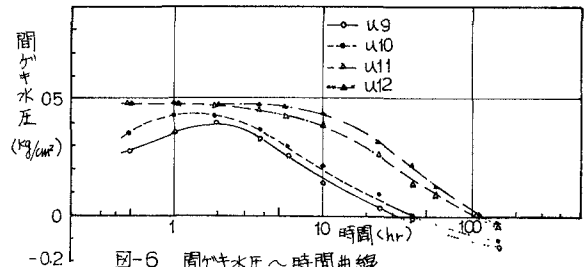
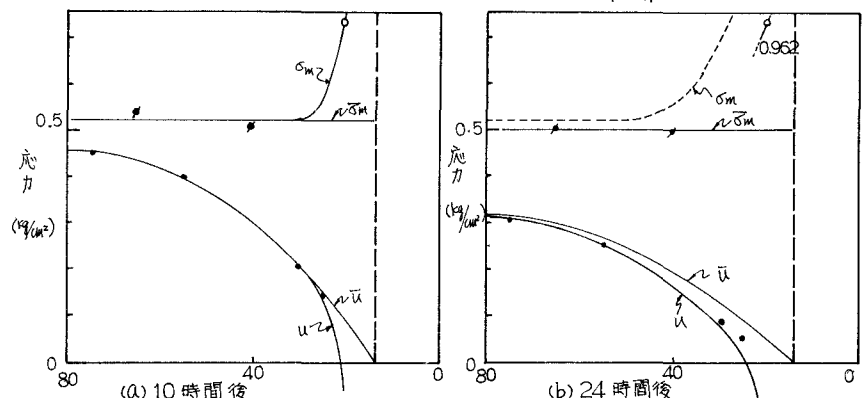
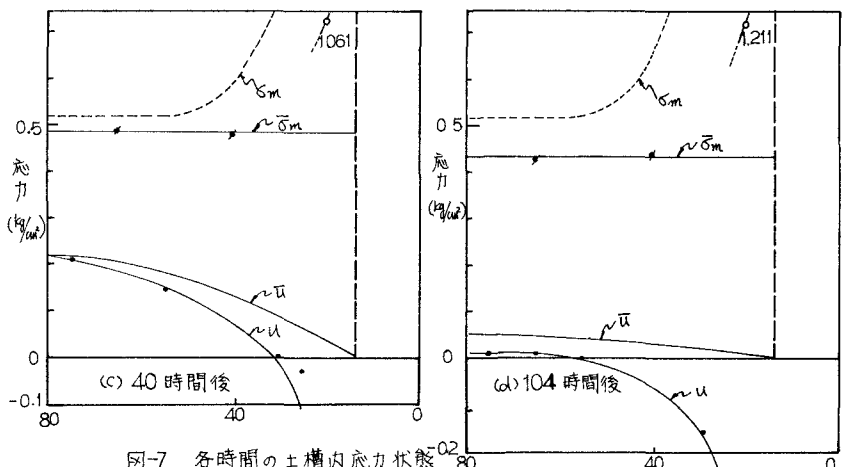


図-6 間ゲキ水圧へ時間曲線



(a) 10時間後

(b) 24時間後



(c) 40時間後

(d) 104時間後

それ以下であれば、生石灰の膨張による粘土の圧密現象は、生じていいことになる。生石灰の反応とともに、サクションの影響が生石灰近くからしだいに粘土内深くまで、広がってゆくのが図-7から観察できる。負の間ゲキ水圧測定の問題から、非排水状態で荷重増分 ΔP に対する過剰間ゲキ水圧の変化よりサクション効果を判定しようとしたことが、現象をさらに複雑なものにしてしまった。したがって、今回の実験では、消化吸水によるサクションと、生石灰膨張によって生じるであろう過剰間ゲキ水圧の変化を明確に分離することは、むずかしく今後の課題としている。

5.3 粘土の強度増加

実験終了後、粘土の一軸圧縮試験を実施して。この結果を示すのが図8である。さうに比較のため、大型圧密試験(高さ7cm、至20cm)を行なって圧密の終った試料の q_{fu} と圧密荷重 P_0 の関係を示したのが、図-9の q_{fu} へ P_0 線で示されている。また、この場合の平均主应力 σ_m と q_{fu} の関係を示したのが、破線である。この q_{fu} へ σ_m を用いて、土槽内各点の q_{fu} 測定時における σ_m を推定したのが、図-8の q_{fu} より求めた σ_m 線である。 q_{fu} から推定した σ_m は、石灰に近い粘土内部の測定値6mにしづべると、かなり高く示されるが、その理由は明らかない。

6 あとがき

初めての実験であり、かつ実験器具技術上の問題もあり十分満足な結果を得ることは、できなかった。今後、これらの経験をもとにして、生石灰パイルによる地盤改良のメカニズム、とくに生石灰パイルの消化吸水によるサクション効果の検討を行ないたいと考えている。また、試料の土質条件、載荷条件について生石灰の設置位置などを改えて実験を必ず必要がある。

本実験を卒業研究の一部として、実施協力してくれた
本学 稲田 力、北川泉、有船一三君の3人に感謝します。

7. 参考文献

- (1) 河野 要 “生石灰ガイ工法について” 土と基礎 Vol.22, No.5, 1974
- (2) 小野田セメント K.K. “ケミコライムによる土壤改良シリーズ”
- (3) 千本努三郎 “生石灰ガイによる地盤改良効果とその問題点” 土と基礎 Vol.22, No.5 1974

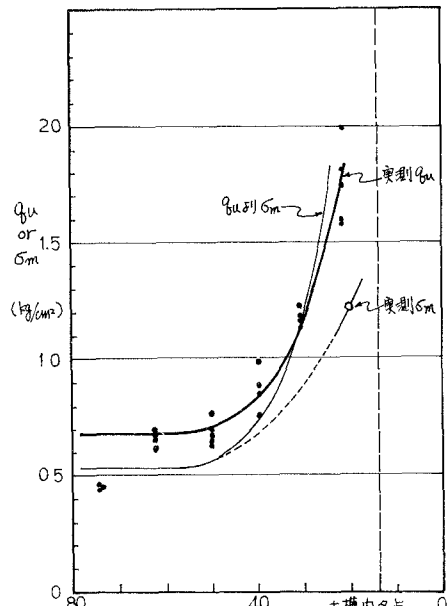


図-8 土槽内各点における q_{fu} or σ_m

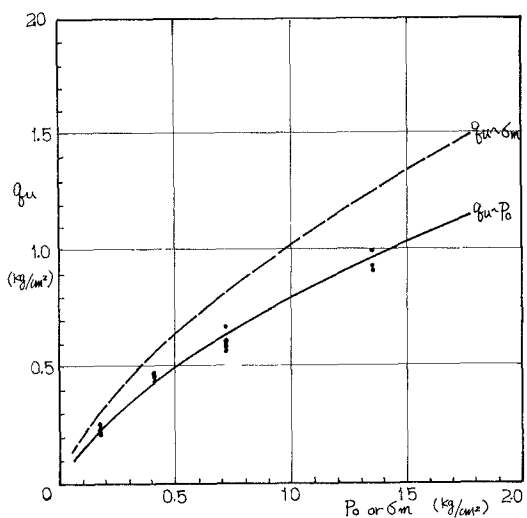


図-9 圧密圧力 P_0 or 平均主应力 σ_m と一軸圧縮強度 q_{fu}